

ارائه روشی نوین برای محاسبه اعتماد در کاربردهای اینترنت اشیا

بهشید شایسته^۱، کارشناسی ارشد؛ وصال حکمی^۲، استادیار؛ سید اکبر مصطفوی^۳، استادیار؛ احمد اکبری ازیرانی^۴، دانشیار

۱- دانشکده مهندسی کامپیوتر - دانشگاه علم و صنعت ایران - تهران - ایران - bshayesteh@alumni.iust.ac.ir

۲- دانشکده مهندسی کامپیوتر - دانشگاه علم و صنعت ایران - تهران - ایران - vhakami@iust.ac.ir

۳- گروه مهندسی کامپیوتر - دانشگاه یزد - یزد - ایران - a.mostafavi@yazd.ac.ir

۴- دانشکده مهندسی کامپیوتر - دانشگاه علم و صنعت ایران - تهران - ایران - akbari@iust.ac.ir

چکیده: در سیستم‌های اینترنت اشیا کیفیت سرویس و اعتبار داده‌های مورد استفاده برای تصمیم‌گیری در کاربردهای مختلف اهمیت بالایی دارند. اشیاء مخرب می‌توانند با ارائه داده‌های نامعتبر موجب کاهش کیفیت و تجربه سرویس برای سایر گره‌ها در یک سیستم اینترنت اشیا شوند. یکی از راه کارهای ممکن برای حل این مشکل، مدیریت اعتماد است. اغلب پژوهش‌های موجود برای محاسبه اعتماد متمرکز بر محاسبه اعتماد موجودیت‌های یک سیستم است. در این مقاله روشی برای محاسبه اعتماد ارائه شده است که علاوه بر محاسبه اعتماد موجودیت‌ها در یک کاربرد اینترنت اشیا، به محاسبه اعتمادپذیری داده نیز پردازد. به این منظور، روش نوینی برای محاسبه اعتماد با در نظر گرفتن ارتباط بین اعتمادپذیری داده و اعتماد موجودیت ارائه شده است که مبتنی بر یادگیری بیزی بوده و برای محاسبه اعتمادپذیری داده از قانون ترکیب نظریه دمپرستر-شیفر استفاده می‌کند. برای آزمایش روش پیشنهادی، به شبیه‌سازی این روش در سناریوی پارکینگ هوشمند پرداخته شده و مقدار همگرایی و زمان همگرایی اعتماد در حضور رفتارهای مخرب و میزان تطبیق‌پذیری آن ارزیابی شده است. نتایج حاصل از ارزیابی روش پیشنهادی در قیاس با روش موجود نشان می‌دهد که روش ما حتی در حضور ۷۰٪ گره مخرب در سیستم، تخمین صحیحی از اعتماد را به دست می‌دهد.

واژه‌های کلیدی: اینترنت اشیا، محاسبه اعتماد، اعتمادپذیری داده، پارکینگ هوشمند.

A Novel Trust Computation Scheme for Internet of Things Applications

B. Shayesteh¹, MSc; V. Hakami², Assistant Professor; S.A. Mostafavi³, Assistant Professor; A. Akbari Azirani⁴, Associate Professor

1- School of Computer Engineering, Iran University of Science and Technology, Tehran, Iran, Email: bshayesteh@alumni.iust.ac.ir

2- School of Computer Engineering, Iran University of Science and Technology, Tehran, Iran, Email: vhakami@iust.ac.ir

3- Department of Computer Engineering, Yazd University, Yazd, Iran, Email: a.mostafavi@yazd.ac.ir

4- School of Computer Engineering, Iran University of Science and Technology, Tehran, Iran, Email: akbari@iust.ac.ir

Abstract: Quality of service and trustworthiness of data is of high importance for decision making in Internet-of-Things (IoT) applications. Malicious nodes and devices may compromise the quality of service and experience for other nodes through providing invalid data and evaluations. Hence, a trust management system to assess the trust level of users and gathered data is deemed to be essential to every IoT system. The current approach in the literature for computing the trust level is entity-centric trust in which the trust level of end users are estimated. However, the trustworthiness of data is equally important in many applications. In this paper, we propose, Trusty, a hybrid trust computation approach, aiming at trust assessment for both entities as well as data. In our proposed approach, a Bayesian learning method is used for computing the entity trust, while Dempster-Shafer theory is exploited to data fusion and data trustworthiness assessment. We implement Trusty in a smart parking system scenario to investigate the performance of our model in the different settings for misbehavior nodes and faulty sensors. As shown by the extensive simulation experiments, Trusty outperforms the competing approaches in terms of convergence for both data trustworthiness and entity trust.

Keywords: Internet of Things, Trust Computation, Data Trustworthiness, Smart Parking.

تاریخ ارسال مقاله: ۱۳۹۷/۰۷/۰۷

تاریخ اصلاح مقاله: ۱۳۹۷/۱۰/۲۴ و ۱۳۹۸/۰۳/۱۲

تاریخ پذیرش مقاله: ۱۳۹۸/۰۴/۰۴

نام نویسنده مسئول: وصال حکمی

نشانی نویسنده مسئول: ایران - تهران - رسالت - خیابان دانشگاه - دانشگاه علم و صنعت ایران - دانشکده مهندسی کامپیوتر.

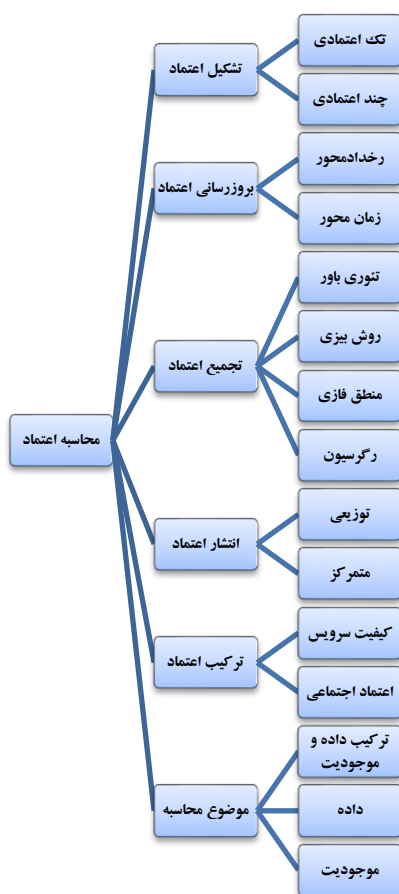
۱- مقدمه

پیشنهادی در یک سناریوی کاربردی و بررسی کارایی روش است. با توجه به روش محاسباتی پیشنهادی، مطالعه موردی باید در کاربردی باشد که در آن کاربران بدون در نظر گرفتن ارتباطات اجتماعی به جمع آوری داده در یک سکوی مرکزی می پردازند. در این راستا، کاربرد «پارکینگ هوشمند» یکی از سناریوهای مطرح در اینترنت اشیا برای شهر هوشمند است که با ویژگی مورد نظر برای نگاشت روش پیشنهادی ما نیز تطابق دارد.

در این مقاله در بخش دوم به بررسی کارهای مرتبط در حوزه اعتماد در اینترنت اشیا پرداخته شده است. در بخش سوم روش محاسبه اعتماد پیشنهادی ارائه شده است و این روش در بخش چهارم بر روی مطالعه موردی پارکینگ هوشمند نگاشت شده است. در بخش پنجم نتایج ارزیابی نشان داده شده اند و بخش ششم به جمع بندی می پردازد.

۲- کارهای مرتبط

در سیستم های اینترنت اشیا مدیریت اعتماد از اهمیت بسزایی برخوردار است. در ادبیات مدیریت اعتماد در اینترنت اشیا، محاسبه اعتماد به شش قسمت ترکیب اعتماد، انتشار اعتماد، تجمع اعتماد، به روزرسانی اعتماد، شکل گیری اعتماد و موضوع محاسبه اعتماد تقسیم شده است.



شکل ۱: درخت روش های محاسبه اعتماد

اینترنت اشیا سامانه ای از دستگاه های پردازشی هم بسته، ماشین های مکانیکی و دیجیتال، اشیا و انسان ها است که بدون نیاز به دخالت انسان با فراهم شدن یک شناسه یکتا دارای قابلیت ارسال اطلاعات بر روی شبکه هستند [۱]. از آنجاکه در محیط اینترنت اشیا، ارتباطات دستگاه های هوشمند و موجودیت ها در محیط های ناشناخته صورت می گیرد، یک چالش اصلی این است که چگونه دستگاه ها باید به یکدیگر اعتماد کنند. در سیستم های اینترنت اشیا کیفیت سرویس های فراهم شده و معتبر بودن داده های مورد استفاده برای تصمیم گیری در کاربردهای مختلف اهمیت بالایی دارند [۲]. موجودیت های مخرب و اشیا می توانند با ارائه داده ها و ارزیابی های نامعتبر در مورد یک سرویس، باعث پایین آمدن کیفیت و تجربه آن سرویس برای سایر موجودیت ها شوند. یکی از راه کارهای ممکن برای این مسئله، مدیریت اعتماد است. بنابراین چالش عمده این است که چگونه یک سیستم مدیریت اعتماد طراحی شود که بتواند کارایی سیستم را در صورت وجود موجودیت ها و داده های مخرب بهبود بخشد [۳].

تمرکز بیش تر روش های ارائه شده برای محاسبه اعتماد در اینترنت اشیا، بر روی اعتماد موجودیت های یک سیستم است. این نوع محاسبه، با بررسی رفتارها و تمایلات این گره ها برای تشخیص گره های مخرب یا غیر صادق از گره های خوش رفتار و صادق انجام می شود. فرض برابری اعتماد پذیری داده با اعتماد تخمین زده شده برای موجودیت تولید کننده آن کاملاً درست نیست؛ زیرا بیشتر سیستم های اینترنت اشیا به جریان های داده بستگی دارند و جامعیت داده و اینکه چه کسی آن را تولید کرده است؛ هر دو حائز اهمیت هستند.

در این مقاله، یک دسته بندی بر اساس موضوع محاسبه اعتماد برای روش های ارائه شده در حوزه اینترنت اشیا ارائه شده است. بر اساس این دسته بندی، روش های ارائه شده به سه دسته تقسیم می شوند: روش هایی که تنها اعتماد موجودیت ها یک سیستم را محاسبه می کنند، روش هایی که تنها اعتماد پذیری داده های تولید شده در یک سیستم را محاسبه می کنند و روش هایی که علاوه بر محاسبه اعتماد پذیری داده، اعتماد موجودیت را نیز محاسبه می کنند (ترکیبی). با توجه به اینکه کارهای کمتری در زمینه محاسبه اعتماد ترکیبی انجام شده است؛ در این کار به ارائه مراحل محاسبه اعتماد و ارائه یک روش با رویکرد ترکیبی در اینترنت اشیا پرداخته شده است.

در روش پیشنهادی، برای محاسبه اعتماد موجودیت ها از یک روش مبتنی بر یادگیری بیزی و برای محاسبه اعتماد پذیری داده از قانون ترکیب نظریه دمپرستر-شیر استفاده شده است. با انجام مطالعه موردی پارکینگ هوشمند، صحت سنجی روش پیشنهادی انجام شده و در نهایت روش پیشنهادی بر اساس ملاک هایی مانند مقدار همگرایی اعتماد، زمان همگرایی اعتماد و تطبیق پذیری ارزیابی شده و با یک کار مشابه محاسبه اعتماد ترکیبی در اینترنت اشیا مقایسه شده است. هدف از انتخاب یک مطالعه موردی، نشان دادن نحوه نگاشت روش محاسباتی

را محاسبه می‌کنند. در تجمیع اعتماد برای هر دو اعتمادپذیری داده و اعتماد موجودیت از روش جمع وزن دار استفاده شده است. از نقص‌های این روش می‌توان به مشخص نبودن روش تعیین ضرایب در تجمیع اعتماد اشاره کرد. علاوه بر این، چارچوب ارائه شده و روش محاسبه اعتماد، مورد ارزیابی و شبیه‌سازی قرار نگرفته است.

جدول ۱: مقایسه روش‌های محاسبه اعتماد

فاکتورهای محاسبه اعتماد					روش محاسبه موضوع
تشریح اعتماد	تشریح اعتماد	تجمیع اعتماد	انتشار اعتماد	ترکیب اعتماد	
به روزرسانی اعتماد	تک اعتمادی	جمع وزن دار ایستا	متمرکز	کیفیت سرویس	[۱۳]
رخدادمحور/ زمان محور	چند اعتمادی با جمع وزن دار ایستا	جمع وزن دار ایستا	توزیعی	کیفیت سرویس	[۱۴]
رخدادمحور/ زمان محور	چند اعتمادی با جمع وزن دار ایستا	جمع وزن دار ایستا	توزیعی	کیفیت سرویس	[۱۵]
رخدادمحور/ زمان محور	تک اعتمادی	روش بیزی/ جمع وزن دار پویا	توزیعی	کیفیت سرویس	[۱۶] [۱۰]
زمان محور	تک اعتمادی با جمع وزن دار ایستا	منطق فازی/ جمع وزن دار پویا	توزیعی	کیفیت سرویس	[۱۷]
رخدادمحور	چند اعتمادی با جمع وزن دار ایستا	جمع وزن دار ایستا	توزیعی/ متمرکز	کیفیت سرویس	[۱۰]
زمان محور	تک اعتمادی	روش بیزی	متمرکز	کیفیت سرویس	[۱۸]
رخدادمحور	چند اعتمادی	جمع وزن دار	توزیعی	کیفیت سرویس	[۱۹]
رخدادمحور	تک اعتمادی	جمع وزن دار	توزیعی	کیفیت سرویس	[۲۰]
زمان محور	چند اعتمادی با جمع وزن دار ایستا	جمع وزن دار ایستا	متمرکز	کیفیت سرویس	[۹]
رخدادمحور	چند اعتمادی با جمع وزن دار پویا	جمع وزن دار پویا	توزیعی/ متمرکز	کیفیت سرویس	[۱۱]
رخدادمحور	تک اعتمادی	دمپستر-شیفر	توزیعی	کیفیت سرویس	[۱۰]

جدول ۱ به‌طور خلاصه تمامی کارهای انجام شده در زمینه محاسبه اعتماد در اینترنت اشیا را نمایش می‌دهد.

ترکیب اعتماد مشخص می‌کند که در محاسبه اعتماد از چه اجزایی استفاده شود. این اجزا شامل کیفیت سرویس و اعتماد اجتماعی است. انتشار اعتماد به چگونگی انتشار شواهد اعتماد به دیگر دستگاه‌های شبکه اشاره دارد و شامل دو نوع انتشار توزیع شده و متمرکز است. تجمیع اعتماد به ترکیب شواهد اعتماد به‌دست‌آمده از طریق مشاهده‌های خود دستگاه و یا بازخورد از دستگاه‌های دیگر و به‌دست آوردن اعتماد نهایی اشاره دارد [۴]. روش‌های رایج ترکیب شواهد اعتماد شامل جمع وزن دار، تئوری باور، استنتاج بیزی، منطق فازی و تحلیل رگرسیون هستند [۴-۶]. محاسبه اعتماد با در نظر گرفتن هدف مورد ارزیابی محاسبه اعتماد به سه دسته محاسبه اعتماد موجودیت، محاسبه اعتمادپذیری داده و محاسبه اعتماد ترکیبی تقسیم می‌شود [۷-۸]. تنوع روش‌های محاسبه اعتماد را می‌توان در قالب یک ساختار درختی مانند شکل ۱ نمایش داد.

در زمینه محاسبه اعتماد ترکیبی کارهای محدودتری انجام شده است. در مرجع [۹] یک روش محاسبه اعتماد ترکیبی برای کاربرد سلامت در اینترنت اشیا ارائه شده است. معیار ترکیب اعتماد از نوع کیفیت سرویس (نرخ درستی بازخوردها) است. نوع انتشار اعتماد در این روش متمرکز است و محاسبه اعتماد در یک موجودیت مرکزی انجام می‌شود. در قسمت تجمیع اعتماد برای اعتمادپذیری داده، از روش میانگین‌گیری بین اعتماد موجودیت‌های تولیدکننده داده استفاده شده است و برای اعتماد موجودیت از جمع وزن دار بین معیارهای کیفیت سرویس استفاده شده است. یکی از نقص‌های این روش، تجمیع اعتمادپذیری داده است که تنها از اعتماد موجودیت‌های بازخورددهنده برای به‌دست آوردن اعتمادپذیری داده استفاده کرده است و از معیارهایی مانند پارامترهای زمینه بهره نبرده است.

در مرجع [۱۰] برای تأمین امنیت در اینترنت اشیا، یک طرح کلی مبتنی بر سیاست، برای جمع‌آوری داده به‌صورت امن و قابل اعتماد به نام RealAlert ارائه شده است. تجمیع اعتماد در این روش با استفاده از نظریه دمپستر-شیفر انجام می‌شود؛ به‌این‌ترتیب که گزارش‌های هم‌سایگان هر گره، که می‌تواند همراه با عدم قطعیت باشد، در آن گره ترکیب می‌شود. از نقص‌های این روش، می‌توان به وجود ابهام در روش تشخیص داده‌های خارج از محدوده برای محاسبه اعتمادپذیری داده و هم‌چنین، وجود ابهام در روش تشخیص رفتارهای ناهنجار یک گره اشاره کرد. هم‌چنین، در تابع ترکیب نظریه دمپستر-شیفر، نحوه تعریف وزن‌های استفاده شده که قسمت اصلی استفاده از این ترکیب است، بیان نشده است.

در مرجع [۱۱] یک چارچوب محاسبه اعتماد ترکیبی مبتنی بر کار پیشین نویسنندگان [۱۲] ارائه شده است. تمرکز این کار روی افزودن اعتمادپذیری داده به کار پیشین و ارائه یک چارچوب محاسبه اعتماد ترکیبی است. معیارهای ترکیب اعتماد موجودیت در این کار شهرت و دانش و تجربه هستند. انتشار اعتماد برای اعتماد موجودیت به صورت توزیع شده انجام می‌شود و هر یک از گره‌ها اعتماد نسبت به سایر گره‌ها

۳- روش پیشنهادی محاسبه اعتماد: Trusty

با توجه به گسترده‌گی کاربردهای اینترنت اشیا، انواع سناریوهای تعاملات ممکن بین اشیا و بین سرویس‌ها در اینترنت اشیا به صورت زیر قابل دسته‌بندی است:

- (۱) سرویس‌گیری: در این سناریو تعدادی سرویس‌گیرنده و تعدادی فراهم‌کننده سرویس وجود دارند. سرویس‌گیرنده‌ها برای هدف و کاربرد خود، با استفاده از اعتماد از بین فراهم‌کننده‌های سرویس، موردی را انتخاب می‌کنند. سناریوهای تعاملات اعتماد در کارهای [۹-۶]، [۱۶-۱۵] و [۲۶] و [۲۸] از این دسته هستند.
- (۲) جمع‌آوری داده در سکوی مرکزی: در این سناریو، دسته‌ای از اشیا به عنوان جمع‌کنندگان داده، داده‌هایی را از محیط فیزیکی جمع می‌کنند و برای سکوی سرویس به صورت جریانی یا بنا به درخواست می‌فرستند. در این سناریو سکوی مرکزی اعتماد هر یک از موجودیت‌های ارسال‌کننده داده را محاسبه می‌کند. سناریوی تعاملات اعتماد در کارهای [۴]، [۵] و [۲۰] و [۲۵] و [۲۷] از این دسته است.

(۳) اعلان هشدار و رخداد: در این سناریو عده‌ای اعلان‌دهنده با ارسال اعلان به دسته‌ای شنونده باعث می‌شوند تا شنونده‌ها از اعلان‌ها استفاده کنند. شنونده‌ها آماده هستند تا دسته‌ای از رخدادها را که شنونده آن هستند؛ دریافت کنند. سناریوی تعاملات اعتماد در مرجع [۲۱] از این دسته است.

روش پیشنهادی Trusty، یک روش محاسبه اعتماد ترکیبی بوده و در دسته جمع‌آوری داده در سکوی مرکزی قرار می‌گیرد. به این ترتیب، محاسبه اعتماد به صورت مرکزی در یک سکوی انجام می‌شود و بنابراین، محاسبه اعتماد سربراری بر روی دستگاه‌ها ایجاد نخواهد کرد. گره‌ها تنها در قالب یک برنامه کاربردی، گزارش‌ها و درخواست‌های خود را ارسال می‌کنند و پاسخ آگاه از اعتماد را از سکوی مرکزی دریافت می‌نمایند. محاسبه اعتماد در سکوی مرکزی به صورت دوره‌ای انجام می‌پذیرد و سربراری بر روی دستگاه‌ها ایجاد نمی‌کند. در ادامه، جزئیات مراحل محاسبه اعتماد در دو بخش اعتمادپذیری داده و اعتماد موجودیت تشریح شده و سپس رویکرد Trusty برای انجام هر یک از این دو بخش ارائه می‌شود. در پایان، کاربرد Trusty برای محاسبه اعتماد در یک سیستم پارکینگ هوشمند بیان می‌شود.

۳-۱- مراحل محاسبه اعتماد ترکیبی در اینترنت اشیا

در مبحث تأمین امنیت و اعتمادپذیری، طیف متنوعی از انواع حملات امنیتی قابل تصور است؛ از جمله، حملات تحریف اعتماد (حمله دروغ‌گویی، روشن-خاموش، خود ارتقای، آراء تقلبی) [۳] و احتمال دست‌کاری داده‌ها در سکوی مرکزی. لازم است تأکید شود که روش پیشنهادی در این بخش به بررسی این نوع حملات و مقابله با آن‌ها نمی‌پردازد. در واقع، فرض بر این است یک مکانیزم تشخیص نفوذ در سیستم استقرار دارد و قادر است این نوع از حملات را شناسایی کند.

در عوض، تمرکز راهکار ارائه شده به طور خاص روی مقوله محاسبه اعتماد برای کاربردهای اینترنت اشیا است.

در اغلب کاربردهای اینترنت اشیا جامعیت داده و اعتبار کسی که آن را تولید کرده است؛ هر دو حائز اهمیت هستند. برای مثال، به دست آوردن اطلاعات امن و مطمئن درباره وضعیت یک تصادف از راننده تاکسی یا مسافران آن، نسبت به کسب اطلاعات از یک مأمور پلیس اهمیت بیشتری دارد زیرا نیاز به کمک گرفتن از متخصصین پزشکی و سایر نهادهای مرتبط به سریع‌ترین نحو وجود دارد [۴]. در روش‌های محاسبه اعتماد در اینترنت اشیا متداول است که اعتمادپذیری داده، که در این مثال مطمئن و امن بودن اطلاعات تصادف است برابر با اعتماد موجودیت تولیدکننده این داده، که همان راننده تاکسی و مأمور پلیس هستند در نظر گرفته شود. با توجه به مثال ذکر شده، این فرض کاملاً درست نیست و نیاز است که اعتمادپذیری داده و اعتماد موجودیت هر دو در یک کاربرد اینترنت اشیا محاسبه شوند. در این مقاله برای محاسبه اعتماد از ترکیب اعتماد موجودیت و اعتمادپذیری داده استفاده می‌شود.

۳-۱-۱- اعتمادپذیری داده

هدف از محاسبه اعتمادپذیری داده این است که درستی یا عدم درستی یک پدیده که در مورد آن گزارش‌ها یا بازخوردهایی از موجودیت‌ها دریافت شده است؛ مشخص شود. اعتمادپذیری داده از دو قسمت اصلی وزن‌دهی گزارش‌ها و ادغام گزارش‌ها تشکیل شده است که در ادامه هر یک توضیح داده شده است.

- **وزن‌دهی گزارش:** هدف این قسمت این است که با توجه به عوامل تعیین‌کننده صحت یک گزارش و با تخصیص یک وزن به آن گزارش، مشخص شود که به چه میزان می‌توان به این گزارش اطمینان داشت.

- **ادغام گزارش‌ها:** هدف این قسمت این است که با توجه به میزان اطمینان هر یک از گزارش‌های ارسال شده (بر اساس وزن)، با ادغام آن‌ها مشخص کند که اعتماد به پدیده مذکور چقدر است. ممکن است هدف ما در یک کاربرد تنها به دست آوردن میزان صحت یک گزارش باشد که در این صورت نیازی به استفاده از ادغام نخواهد بود و تنها به دست آوردن وزن گزارش کفایت می‌کند.

۳-۱-۲- اعتماد موجودیت

منظور از اعتماد موجودیت، اعتماد به گره‌هایی است که گزارش‌ها و بازخوردهایی را در یک سیستم اینترنت اشیا ارائه می‌دهند. در مثال گزارش دی‌اکسید نیتروژن موجود در هوا، موجودیت‌ها همان حس‌گرهای کاربران است که گزارش را ارائه می‌دهند. محاسبه اعتماد موجودیت از دو قسمت اصلی تشکیل شده است:

عامل زمان به‌عنوان یکی از عوامل تأثیرگذار در نظر گرفته شود و تأثیر بازخوردها و گزارش‌های اخیر بیش‌تر از گزارش‌های قدیمی باشد. همچنین عامل زمینه‌ای مکان گزارش با توجه به کاربرد می‌تواند تأثیرگذار باشد. عامل مهم زمینه‌ای دیگر، ویژگی موجودیت است. با توجه به کاربرد، هر موجودیت با توجه به نوع یا مرتبه آن ممکن است گزارش دقیق‌تری ارائه دهد. برای مثال، ممکن است موجودیت موردنظر دارای حس‌گرهای مجهزتر و به‌روزتری باشد یا در طبقه‌بندی موجودیت‌ها در طبقه بالاتری قرار گیرد.

برای تولید اطلاعات زمینه، قسمتی تحت عنوان پیش‌پردازش وجود دارد که اطلاعات خام مانند زمان (t) ، مختصات جغرافیایی یا هر مقداری که نشان‌دهنده مکان تولید گزارش یا بازخورد باشد (l) و شناسه موجودیت تولیدکننده این گزارش یا بازخورد (N_k) را به‌عنوان ورودی می‌گیرد و عملیات استنتاج زمینه را انجام می‌دهد. برای هر پدیده، گزارش i ام در مورد آن با R_i مشخص شده است. اطلاعات زمینه استنتاج شده برای عامل زمان گزارش R_i با $\mu_t(R_i)$ عامل مکان گزارش R_i با $\mu_l(R_i)$ و عامل ویژگی موجودیت گزارش R_i که توسط گر N_k ارائه شده، با $\mu_e(R_i, N_k)$ مشخص شده است.

وزن دهی گزارش: با توجه به اینکه اعتماد موجودیت و عامل زمینه‌ای ویژگی موجودیت (μ_e) ، وابسته به رفتار و ویژگی گر هستند؛ و عوامل زمینه مکان و زمان، با توجه به کاربرد، به شرایط زمینه آن کاربرد وابسته می‌شوند؛ در Trusty برای محاسبه وزن و تجمیع این عوامل از تابع جمع وزن‌دار استفاده شده است. $w_k^{l,t}(R_i)$ وزن گزارش R_i است که توسط گر N_k در زمان t و در مکان l ارائه شده است. اعتماد موجودیت برای گر k ام که گزارش R_i را ارائه کرده است، با $T_e(N_k)$ مشخص شده است.

رابطه (۱) نشان‌دهنده وزن حاصل از تجمیع عوامل زمینه و اعتماد موجودیت برای گزارش R_i ارائه شده توسط گر N_k است.

$$w_k^{l,t}(R_i) = \alpha(T_e(N_k) * \mu_e(R_i, N_k)) + \beta(\mu_t(R_i)) + \gamma(\mu_l(R_i)) \quad (1)$$

بدیهی است که $\alpha + \beta + \gamma = 1$ و با توجه به اهمیت بالاتر اعتماد موجودیت نسبت به عوامل زمینه، باید رابطه $\alpha > \beta + \gamma$ برقرار باشد.

ادغام گزارش‌ها: بعد از تعیین وزن هر یک از گزارش‌ها، برای به دست آوردن اعتمادپذیری داده و اعتماد موجودیت به بررسی جزئیات آن پرداخته شده است. در این روش، انتشار اعتماد به‌صورت مرکزی انجام می‌شود و عمل به‌روزرسانی اعتماد به‌صورت زمان‌محور انجام می‌شود.

بدیده با توجه به وزن محاسبه شده برای آن‌ها با یکدیگر ترکیب شوند. در کاربردهای اینترنت اشیا > سگرها دارای دقت‌های متفاوت هستند که این امر زمینه‌ساز عدم قطعیت در داده‌ها خواهد بود. با توجه به اینکه نظریه دمپستر-شیفر برای کاربردهای دارای عدم قطعیت مناسب است، از این نظریه در Trusty استفاده شده است. در نظریه دمپستر-شیفر هنگامی که یک موجودیت بازخوردی مبنی بر قابل اعتماد بودن یک پدیده ارائه می‌دهد، به این معناست که این پدیده در صورت قابل اعتماد بودن موجودیت (بالا بودن مقدار $w_k^{l,t}(R_i)$)، قابل اعتماد است

- **صحت‌سنجی گزارش‌ها:** با توجه به اینکه تعامل موجودیت مرکزی محاسبه اعتماد با کاربران تنها از طریق به اشتراک‌گذاری گزارش‌های آن‌ها است؛ هدف از این قسمت این است که بتوان تعداد به اشتراک‌گذاری‌ها یا گزارش‌های صحیح و غلط هر یک از گر‌ها یا موجودیت‌ها را به دست آورد.
- **به‌روزرسانی:** با توجه به اینکه هر موجودیت چه تعداد به اشتراک‌گذاری صحیح و به اشتراک‌گذاری اشتباه دارد، مقدار اعتماد موجودیت با توجه به روش محاسباتی که برای محاسبه اعتماد موجودیت در نظر گرفته شده است؛ به‌روزرسانی می‌شود.

۲-۳- محاسبه اعتماد در Trusty

در این بخش به شرح جزئیات روش پیشنهادی برای محاسبه هر یک از مراحل یاد شده پرداخته شده است. نمادهای مورد استفاده در روش پیشنهادی Trusty در جدول ۲ ارائه شده است.

جدول ۲: نمادهای استفاده شده در روش پیشنهادی

نماد	توضیح
R_i	i امین گزارش
N_k	k امین گر گزارش‌دهنده
t	زمان تولید گزارش
l	مکان تولید گزارش
$\mu_t(R_i)$	اطلاعات زمینه زمانی گزارش i ام
$\mu_l(R_i)$	اطلاعات زمینه مکانی گزارش i ام
$\mu_e(R_i, N_k)$	اطلاعات زمینه ویژگی گزارش‌دهنده گزارش i ام ارائه‌شده توسط گر k ام
$w_k^{l,t}(R_i)$	وزن گزارش R_i توسط گر N_k در زمان t و مکان l
T_d	اعتمادپذیری داده
N_f	تعداد گزارش‌های درست یک گر
N_g	تعداد گزارش‌های نادرست یک گر
σ_f	احتمال خطای منفی کاذب
σ_g	احتمال خطای مثبت کاذب
$T_e(N_k)$	اعتماد موجودیت گر N_k

با توجه به اینکه Trusty یک روش ترکیبی است، در دو بخش اعتمادپذیری داده و اعتماد موجودیت به بررسی جزئیات آن پرداخته شده است. در این روش، انتشار اعتماد به‌صورت مرکزی انجام می‌شود و عمل به‌روزرسانی اعتماد به‌صورت زمان‌محور انجام می‌شود.

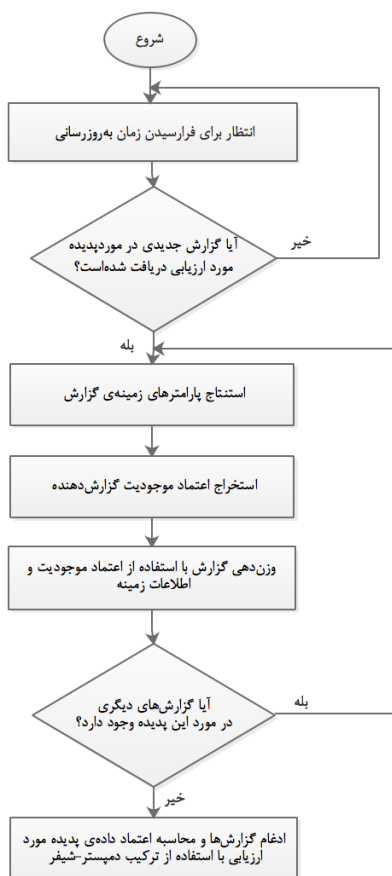
۳-۲-۱- محاسبه اعتمادپذیری داده در Trusty

در روش پیشنهادی، پارامترهای زمان (t) ، مکان (l) و ویژگی‌های موجودیت (N_k) به‌عنوان عوامل زمینه تأثیرگذار بر اعتمادپذیری داده در نظر گرفته شده‌اند. از آنجاکه در برخی از کاربردهای اینترنت اشیا وضعیت یک پدیده ممکن است با گذشت زمان تغییر کند، نیاز است

شکل ۲ نشان دهنده نمودار روند محاسبه اعتمادپذیری داده در روش پیشنهادی است.

۳-۲-۲- محاسبه اعتماد موجودیت در Trusty

روش‌های متنوعی برای تجمع اعتماد وجود دارد که از جمله متداول‌ترین آن‌ها می‌توان به روش جمع وزن‌دار (با وزن‌های ایستا یا پویا)، استنتاج بی‌زی، نظریه باور و روش فازی اشاره کرد. مزیت روش جمع وزن‌دار سادگی کارکرد آن است ولی نارسایی آن در این است که در حضور رفتارهای مخرب با درصد بالا عملکرد مناسبی نخواهند داشت. روش فازی در موقعیت‌های دارای ابهام که ارائه یک مقدار عددی دقیق، دشوار است، با استفاده از متغیرهای زبانی، فرآیند تصمیم‌گیری را تسهیل می‌کند و می‌تواند برای کاربرد اعتماد مناسب باشد، اما چالش اصلی آن، ارائه تابع عضویت است. در روش نظریه باور، مشخص کردن جرم باور پایه یکی از چالش‌ها است. هم‌چنین روش‌های مبتنی بر نظریه باور مانند دمپستر-شیفر بیش‌تر برای به دست آوردن اعتماد در حالتی که تعامل مستقیم وجود ندارد مورد استفاده قرار می‌گیرد.



شکل ۲: جریان کاری محاسبه اعتمادپذیری داده در Trusty

در کارهای انجام شده در اینترنت اشیا، برای محاسبه اعتماد موجودیت‌ها که تعامل مستقیم با آن‌ها وجود دارد، بیش‌تر از روش‌های بی‌زی استفاده شده‌است. در Trusty با توجه به اینکه رفتار گره‌ها در

و در غیر این صورت لزوماً غیرقابل اعتماد نیست. در واقع نظریه دمپستر-شیفر یک بازه عدم قطعیت باور و مقبولیت ارائه می‌دهد.

فرمول (۲) نشان دهنده ترکیب وزن گزارش‌های مختلف با استفاده از قانون ترکیب نظریه دمپستر-شیفر است [۲۲].

$$w_{1,2}(T) = (w_1 \oplus w_2)(T) = \frac{\sum_{R \cap R' = T} w_1^{l,t}(R) w_2^{l,t}(R')}{1 - \sum_{R \cap R' = \emptyset} w_1^{l,t}(R) w_2^{l,t}(R')} \quad (2)$$

در فرمول (۲) $w_{1,2}(T)$ مشخص‌کننده وزن قابل اعتماد بودن یا تأیید پدیده مورد نظر است که از ترکیب وزن گزارش‌های R و R' که به ترتیب توسط گره ۱ و گره ۲ در زمان t و در مکان l ارائه شده‌اند، به دست می‌آید. در صورتی که گزارش‌های R و R' هر دو مبنی بر تأیید پدیده یا قابل اعتماد بودن آن باشند، صورت این کسر برابر با حاصل ضرب وزن‌های $w_1^{l,t}(R)$ و $w_2^{l,t}(R')$ است. در صورتی که اشتراک گزارش‌های R و R' تهی باشد، مخرج ترکیب دمپستر-شیفر برای نرمال کردن برابر حاصل ضرب وزن‌های $w_1^{l,t}(R)$ و $w_2^{l,t}(R')$ است. به همین ترتیب $w_{1,2}(\bar{T})$ برای غیر قابل اعتماد بودن یا رد پدیده مورد نظر محاسبه خواهد شد. همین‌طور $w_{1,2}(U)$ نشان دهنده عدم وجود دانش کافی یا حالت ندانستن و وضعیت پدیده مورد نظر خواهد بود. با توجه به نرمال شدن مقادیر به دست آمده، بدیهی است که حاصل جمع $w_{1,2}(T)$ و $w_{1,2}(\bar{T})$ و $w_{1,2}(U)$ که به ترتیب نشان دهنده وزن صحت، عدم صحت و عدم وجود دانش کافی در مورد یک پدیده هستند، برابر با یک خواهد بود. فرمول (۲) نشان دهنده ترکیب دمپستر-شیفر برای گزارش‌های دو گره است. به همین ترتیب $w_{1,2}(T)$ با گزارش گره‌های بعدی ترکیب خواهد شد تا در نهایت تمامی گزارش‌های مربوط به پدیده با یکدیگر ترکیب شده و اعتمادپذیری داده یا T_d برای این پدیده محاسبه گردد.

در مرجع [۱۲] روشی برای هموارسازی نتایج حاصل از استفاده از نظریه دمپستر-شیفر ارائه شده است. در این کار یک جریمه برای تغییرات زیاد در ورودی در نظر گرفته شده است. این جریمه باید بر روی وزن محاسبه شده برای هر گزارش یا بازخورد یک موجودیت در مورد یک پدیده اعمال شود تا نوسان نتیجه نهایی کاهش یابد.

در صورتی که با توجه به کاربرد، امکان وقوع این تغییرات در ورودی‌ها وجود داشته باشد، می‌توان پس از وزن‌دهی، از فرمول (۳) برای به دست آوردن مقدار جریمه و هموار کردن نتیجه استفاده کرد. $d(R_i, R_{i-1})$ نشان دهنده اختلاف دو گزارش یا بازخورد متوالی یک موجودیت است که به بیشینه این مقدار نرمال شده است و با ضرب در مقدار قبلی وزن محاسبه شده تشکیل جریمه را می‌دهد. این اختلاف فاصله اقلیدسی بین گزارش‌ها است. این مقدار جریمه از مقدار وزن محاسبه شده $w_k^{l,t}(R_i)$ کسر می‌شود.

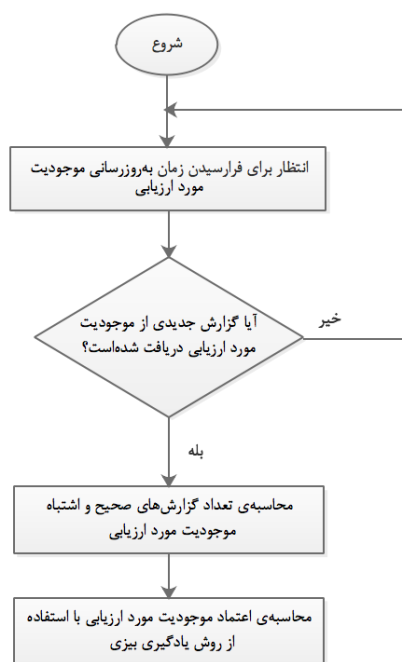
$$penalty = \left[w_k^{l,t}(R_i) \times \frac{d(R_i, R_{i-1})}{\max(d(R_i, R_{i-1}))} \right] \quad (3)$$

۴-۱- مشخصات پارکینگ هوشمند

در پارکینگ هوشمند مورد نظر، تعدادی جایگاه پارک مجهز به حس گر بی سیم وجود دارند. علاوه بر این، تعدادی کاربر که دارای خودرو هستند، به عنوان موجودیت های سیستم در نظر گرفته شده اند. حس گرهایی که در هر جایگاه تعبیه شده اند، با ورود/خروج ماشین به/از جایگاه، تغییر وضعیت را به صورت داده دودویی موجودیت مرکزی اطلاع می دهند. هر کاربر پیش از رسیدن به مقصد، با کمک یک برنامه کاربردی مقصد خود را مشخص کرده و درخواستی برای پیدا کردن جایگاه پارک مناسب برای موجودیت مرکزی ارسال می کند. موجودیت مرکزی با بررسی این درخواست؛ لیستی از جایگاه های مناسب به همراه ویژگی آن ها را به کاربر ارائه می دهد تا کاربر با توجه به ترجیحات خود، یک جایگاه را انتخاب کند. در این پژوهش سه ویژگی دسترس پذیری، ایمنی و سهولت پارک به عنوان ویژگی های یک جایگاه در نظر گرفته شده اند.

۴-۲- کاربرد اعتماد در پارکینگ هوشمند

ممکن است کاربران بدخواهی وجود داشته باشند که گزارش های غیرواقعی در مورد ویژگی های جایگاه ها ارائه دهند. بنابراین نیاز است که اعتماد برای هر یک از موجودیت ها محاسبه شود.



شکل ۳: روندنمای محاسبه اعتماد موجودیت در Trusty

علاوه بر ضرورت وجود اعتماد موجودیت، به دلیل اینکه داده ها و گزارش های تولید شده توسط کاربران در مورد هر یک از ویژگی های جایگاه ها، ممکن است نادرست باشند و موجودیت مرکزی با استناد به همین گزارش ها در مورد کیفیت ویژگی های جایگاه ها استنتاج انجام می دهد، نیاز است تا اعتماد به داده های استنتاج شده توسط موجودیت مرکزی محاسبه شود. اعتماد پذیری داده باید برای تمامی ویژگی های

کاربردهای ذکر شده محدود به ارسال و ارائه اطلاعات است؛ برای محاسبه اعتماد موجودیت از روش ارائه شده در مرجع [۲۳] که مبتنی بر یادگیری بیزین برای شبکه های دارای همیاری است، استفاده شده است. در این روش شهرت هر یک از موجودیت ها با توجه به رفتار قبلی آن ها در طی زمان یاد گرفته می شود.

در این روش l سطح از شهرت در نظر گرفته شده است. مجموعه شهرت ها با \mathbb{R} نشان داده می شود و دارای l عضو است؛ هر یک از سطوح شهرت با \mathbb{R}_l مشخص می شود. N_f و N_g به ترتیب نشان دهنده تعداد گزارش های صحیح و تعداد گزارش های غلط ارائه شده توسط گره مورد ارزیابی در مورد یک پدیده است. برای تشخیص اینکه آیا یک گزارش صحیح بوده یا اشتباه، از اعتماد پذیری داده پدیده مورد نظر که در قسمت قبل بررسی شد استفاده می شود.

در این روش، احتمال هر یک از l سطح شهرت با استفاده از فرمول (۴) محاسبه می شود. در اینجا، $P_{N_k}^t(r = \mathbb{R}_l)$ نشان دهنده احتمال برابری شهرت با سطح \mathbb{R}_l برای گره N_k در زمان به روزرسانی t ام است و برای هر یک از سطوح این احتمال محاسبه می شود. با توجه به اینکه به روزرسانی اعتماد در Trusty زمان محور است، $P_{N_k}^{t-1}(r = \mathbb{R}_l)$ نشان دهنده احتمال محاسبه شده برای این سطح از شهرت گره N_k در به روزرسانی قبلی است.

فرمول (۴) احتمال اینکه سطح شهرت گره N_k در زمان به روزرسانی t ام برابر با \mathbb{R}_l باشد را نشان می دهد.

(۴)

$$P_{N_k}^t(r = \mathbb{R}_l) = \frac{P_{N_k}^{t-1}(r = \mathbb{R}_l) [\mathbb{R}_l \sigma_f^{N_f} (1 - \sigma_f)^{N_g} + (1 - \mathbb{R}_l) \sigma_g^{N_g} (1 - \sigma_g)^{N_f}]}{\sum_{\mathbb{R}_l \in \mathbb{R}} P_{N_k}^{t-1}(r = \mathbb{R}_l) [\mathbb{R}_l \sigma_f^{N_f} (1 - \sigma_f)^{N_g} + (1 - \mathbb{R}_l) \sigma_g^{N_g} (1 - \sigma_g)^{N_f}]}$$

پس از محاسبه $P_{N_k}^t(r = Rep_l)$ برای هر یک از سطوح شهرت، با استفاده از یک جمع وزن دار که وزن ها برابر با سطوح شهرت هستند، مقدار اعتماد N_k به یکی از l سطح شهرت همگرا شده و اعتماد موجودیت محاسبه می شود. فرمول (۵) نشان دهنده نحوه محاسبه اعتماد موجودیت با استفاده از احتمال هر یک از سطوح شهرت، برای گره N_k است.

$$T_e(N_k) = \sum_{Rep_l \in Rep} Rep_l \cdot P_{N_k}^t(r = Rep_l) \quad (5)$$

در هر بار به روزرسانی، اعتماد موجودیت برای تمامی موجودیت ها به ازای گزارش یا اندازه گیری های جدیدی که ارائه کرده اند محاسبه می شود. روندنمای نشان دهنده شیوه محاسبه اعتماد موجودیت در شکل ۳ نشان داده شده است.

۴- مطالعه موردی: محاسبه اعتماد در پارکینگ هوشمند

یکی از سرویس های کلیدی که در شهر باید مدیریت شود، امکانات پارکینگ و ترافیک است. برای مدیریت پارکینگ، حسگرهای هوشمند جهت نصب در فضای پارکینگ جهت اعلام وضعیت فضای اشغال شده مورد نیاز است. هم چنین می بایست داده های جمع آوری شده برای به دست آوردن دید عملی پردازش شوند [۲۴].

برابر با ۰/۰۵ و شهرت متوسط که نشان‌دهنده حالت بی‌طرفی است برابر با ۰/۵۰ در نظر گرفته شده است.

۵- ارزیابی و تحلیل نتایج

در این بخش با انجام شبیه‌سازی سناریوی پارکینگ هوشمند، کارایی Trusty مورد ارزیابی قرار می‌گیرد. برای رسیدن به این هدف از یک شبیه‌ساز مبتنی بر نرم‌افزار MATLAB استفاده شده و روش پیشنهادی با روش ارائه شده در مرجع [۹] مقایسه شده است. خروجی که صحت آن مورد ارزیابی قرار می‌گیرد، اعتماد پذیری داده و اعتماد موجودیت محاسبه شده با استفاده از روش Trusty است. اعتماد پذیری داده برای هر یک از سه ویژگی جایگاه‌ها محاسبه می‌شود. اعتماد موجودیت نیز برای کاربران محاسبه شده تا موجودیت‌های خوش‌رفتار از موجودیت‌های مخرب تشخیص داده شوند. نتایج با تکرار ۳۳ بار برای هر آزمایش و در بازه اطمینان ۹۵٪ به دست آمده‌اند. پارامترهای مورد استفاده در شبیه‌سازی سناریوی پارکینگ هوشمند برای روش پیشنهادی و روش مقایسه در جدول ۴ ارائه شده است.

جدول ۴: پارامترهای شبیه‌سازی

مقدار	متغیر
۴۰	تعداد کاربرها
۱۰۰	تعداد جایگاه‌ها
۴	تعداد ناحیه‌ها
[۰-۷۰٪]	درصد کاربرهای مخرب
[۰-۲۰٪]	درصد جایگاه‌های غیرامن
[۰-۳۰٪]	درصد جایگاه‌های دشوار برای پارک
[۰-۲۰٪]	درصد جایگاه‌های دارای حس‌گر مختل
۰/۶	آستانه اعتماد
۵۰	تعداد به‌روزرسانی‌های اعتماد
۰/۲	مقدار σ_g و σ_f
۰/۷	مقدار α
۰/۳	مقدار β

۵-۱- نمایش صحت کارکرد Trusty

هدف از این آزمایش، نمایش صحت کارکرد روش پیشنهادی بدون حضور رفتارهای مخرب و با فرض مناسب بودن تمامی جایگاه‌های پارک است. به این منظور، نمودارهای مربوط به اعتماد موجودیت و اعتماد داده محاسبه شده، آورده شده است. در شکل ۴ اعتماد موجودیت که همان اعتماد ماشین‌های خوش‌رفتار است نشان داده شده است. شکل ۴ نشان‌دهنده میانگین اعتماد تمامی ماشین‌های خوش‌رفتار سیستم است. مقدار اولیه اعتماد برای تمامی گره‌ها ۰/۵۰ در نظر گرفته شده است. همان‌طور که در شکل ۴ مشاهده می‌شود، در حالتی که هیچ رفتار مخربی وجود ندارد اعتماد محاسبه شده برای ماشین‌ها از مقدار ۰/۵ به ۰/۹۵ همگرا می‌شود.

یک جایگاه محاسبه شود. مدل رفتاری کاربران بدخواه در این سناریو به این صورت است که این کاربران در نواحی که رفت‌وآمد بیشتری دارند، برای حفظ نظم یا یافتن جای پارک سریع‌تر، رفتار بهتری دارند ولی در سایر نواحی، همواره رفتار خصمانه داشته و بازخوردهای غیرواقعی می‌دهند.

۴-۳- اطلاعات زمینه‌ای در محاسبه اعتماد

در این سناریو عوامل زمینه‌ای مکان و ویژگی‌های موجودیت در محاسبه اعتماد مورد استفاده قرار می‌گیرند. تابع ضابطه‌ای محاسبه مکان برای گزارش R_i توسط کاربر N_k در فرمول (۶) نشان داده شده است.

$$\mu_l(R_i, N_k) = \begin{cases} 1, & l \in \text{home}(N_k) \\ 0.2, & l \notin \text{home}(N_k) \end{cases} \quad (6)$$

عامل ویژگی موجودیت برای سناریو پارکینگ هوشمند به صورت یک ماتریس تعریف شده است که در آن کاربران بر اساس نوع گواهی نامه و ابعاد ماشین خود به پنج کلاس تقسیم‌بندی شده‌اند و موجودیت هر کلاس، که همان کاربران هستند؛ دارای ویژگی‌های متفاوتی خواهند بود. جدول ۳ نشان‌دهنده عامل زمینه‌ای ویژگی موجودیت در سناریو پارکینگ هوشمند است. نکته‌ای که باید در رابطه با تنظیم مقادیر عددی برای پارامترهای زمینه‌ای روش پیشنهادی به آن توجه داشت این است که فرض بر این بوده که در هر سناریوی کاربردی که قرار به استفاده از راهکار پیشنهادی باشد، می‌توان مقادیر مناسب را بر اساس دانش موجود در حوزه مربوطه و نیز کسب آراء افراد خبره به نحو تجربی تعیین نمود. کلیت و چارچوب روش پیشنهادی فارغ از مقادیر پارامترهای ثابت آن، قابل به‌کارگیری است و در عمل، تنها نیاز به تعیین موردی آن‌ها می‌باشد.

جدول ۳: کلاس‌های عامل زمینه‌ای ویژگی‌های موجودیت

سهولت پارک	ایمنی	دسترسی پذیری	کلاس
۰/۸	۰/۸	۰/۸	کلاس ۱
۱	۰/۸	۰/۸	کلاس ۲
۰/۶	۰/۸	۰/۸	کلاس ۳
۰/۶	۰/۶	۰/۸	کلاس ۴
۰/۶	۱	۱	کلاس ۵

در قدم بعدی باید ضرایب تابع تشکیل وزن اعتمادپذیری داده مشخص شود. تابع تشکیل وزن اعتمادپذیری داده در فرمول (۷) نشان داده شده است.

$$w_k(R_i) = 0.7 * (T_e(N_k) * \mu_e(R_i, N_k)) + 0.3 * (\mu_l(R_i, N_k)) \quad (7)$$

۴-۴- محاسبه اعتماد موجودیت

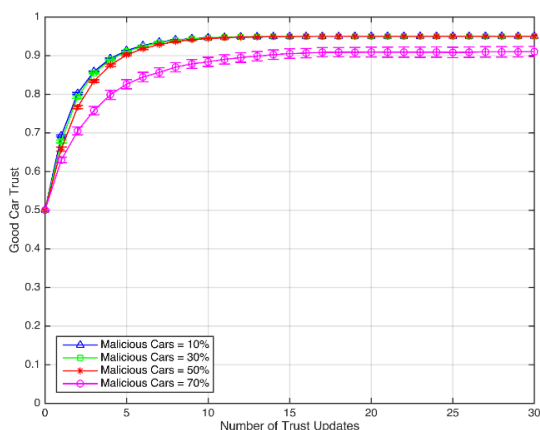
برای محاسبه اعتماد موجودیت در روش پیشنهادی از یک روش مبتنی بر یادگیری بیزی استفاده شده است که سطوح مختلفی از شهرت را در نظر می‌گیرد. در این سناریو، سه سطح شهرت در نظر گرفته شده است: شهرت بالا که به‌منزله قابل اعتماد بودن موجودیت است برابر با ۰/۹۵، شهرت پایین که به‌منزله غیرقابل اعتماد بودن موجودیت است

می‌شود. در حالتی که ۷۰٪ رفتار مخرب در سیستم وجود دارد، به مقداری کم‌تر از ۰/۱ همگرا می‌شود که قابل قبول است.

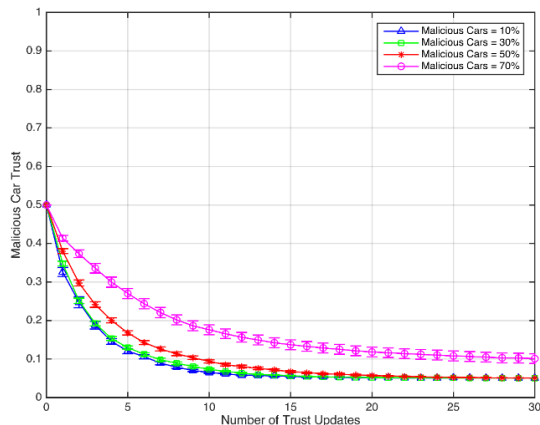
۵-۲-۲- اعتمادپذیری داده

در این قسمت اعتمادپذیری داده برای سه ویژگی در نظر گرفته شده محاسبه می‌شود. برای هر یک از ویژگی‌ها، یک نمودار نشان‌دهنده اعتماد به وجود این ویژگی، برای جایگاه‌هایی که این ویژگی را دارند، و یک نمودار نشان‌دهنده بی‌اعتمادی به وجود این ویژگی، برای جایگاه‌هایی که این ویژگی را ندارند، در نظر گرفته شده است. نتایج این قسمت، به ازای حالتی که ۳۰٪ از جایگاه‌ها نامناسب هستند و ۱۰٪ الی ۷۰٪ از ماشین‌ها رفتار مخرب دارند، به دست آمده است.

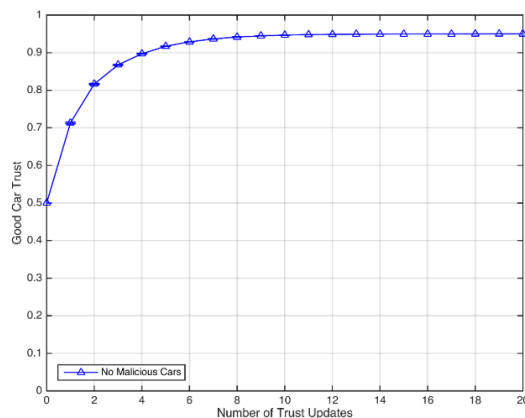
شکل ۷ نشان‌دهنده اعتمادپذیری داده ویژگی ایمنی برای جایگاه‌های امن در حضور رفتارهای مخرب است. با توجه به شکل ۷، مقدار همگرایی اعتمادپذیری داده محاسبه شده برای ویژگی ایمنی جایگاه‌های امن با افزایش درصد حضور رفتارهای مخرب در سیستم، کاهش پیدا می‌کند. در بیش‌ترین حالت رفتارهای مخرب یعنی با حضور ۷۰٪ رفتار مخرب مقدار همگرایی نزدیک به ۱۰/۸ است. با توجه به اینکه آستانه در نظر گرفته شده برای اعتماد برابر با ۰/۶ است می‌توان گفت که محاسبه اعتمادپذیری داده برای این ویژگی کارکرد مناسبی در حضور رفتارهای مخرب دارد.



شکل ۵: اعتماد ماشین‌های خوش‌رفتار در حضور رفتارهای مخرب



شکل ۶: اعتماد ماشین‌های بدرفتار در حضور رفتارهای مخرب



شکل ۴: اعتماد ماشین‌ها بدون حضور رفتارهای مخرب

۵-۲- تأثیر رفتارهای مخرب بر همگرایی اعتماد

هدف از این آزمایش، نمایش عملکرد روش پیشنهادی در حضور رفتارهای مخرب و میزان دقت همگرایی روش با در نظر گرفتن رفتارهای مخرب است. به این منظور، با در نظر گرفتن میزان متفاوتی از رفتارهای مخرب و همچنین با در نظر گرفتن میزان متفاوتی از جایگاه‌های نامناسب (غیرامن، مجهز به حس‌گر دارای نقص، دشوار برای پارک) به بررسی کارکرد روش پیشنهادی پرداخته شده است.

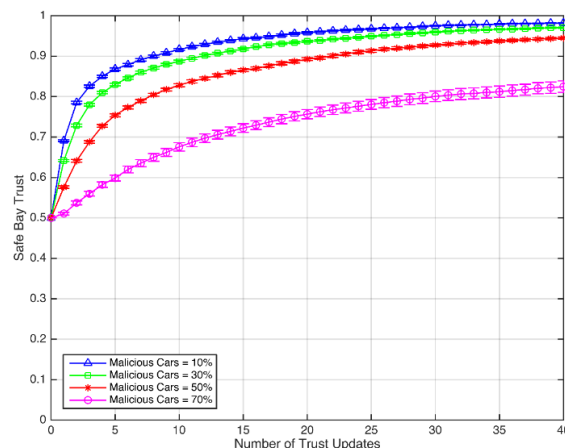
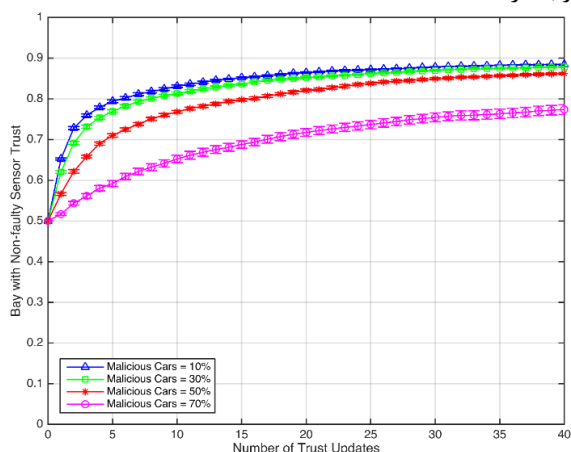
۵-۲-۱- اعتماد موجودیت

در این قسمت اعتماد موجودیت برای ماشین‌های خوش‌رفتار و ماشین‌های مخرب محاسبه شده است. نتایج نشان داده شده در این قسمت، به ازای حالتی که ۳۰٪ از جایگاه‌ها نامناسب هستند و ۱۰٪ الی ۷۰٪ از ماشین‌ها رفتار مخرب دارند، به دست آمده است. شکل ۵ نشان‌دهنده اعتماد ماشین‌های خوش‌رفتار در حضور رفتارهای مخرب است.

در شکل ۵، تا زمانی که ۵۰٪ رفتار مخرب در سیستم وجود دارد، مقدار اعتماد ماشین‌های خوش‌رفتار دقیقاً به مقدار ۰/۹۵ که سطح بالای اعتماد در نظر گرفته شده است همگرا می‌شود. در حالتی که ۷۰٪ رفتار مخرب در سیستم وجود دارد، به مقداری بالاتر از ۰/۹ همگرا می‌شود که قابل قبول است. دلیل اینکه روش پیشنهادی در حضور بیشترین تعداد گره‌های مخرب نیز مقدار اعتماد را به درستی محاسبه می‌کند، تنظیمی است که برای پارامترهای σ_f و σ_g در نظر گرفته شده است. اگر مقدار σ_f و σ_g بیشتر از مقدار تعیین شده باشند، به این معنا است که احتمال خطای مثبت کاذب و منفی کاذب در تشخیص صحت گزارش‌ها بیشتر است، بنابراین اعتماد موجودیت به مقدار کمتری همگرا خواهد شد.

با شرایط ذکر شده، شکل ۶ نشان‌دهنده اعتماد ماشین‌های مخرب در حضور رفتارهای مخرب است. در شکل ۶ تا حالتی که ۵۰٪ رفتار مخرب در سیستم وجود دارد، مقدار اعتماد ماشین‌های مخرب دقیقاً به مقدار ۰/۰۵ که سطح پایین اعتماد در نظر گرفته شده است همگرا

اعتمادپذیری داده برای این ویژگی کارکرد مناسبی در حضور رفتارهای مخرب دارد.



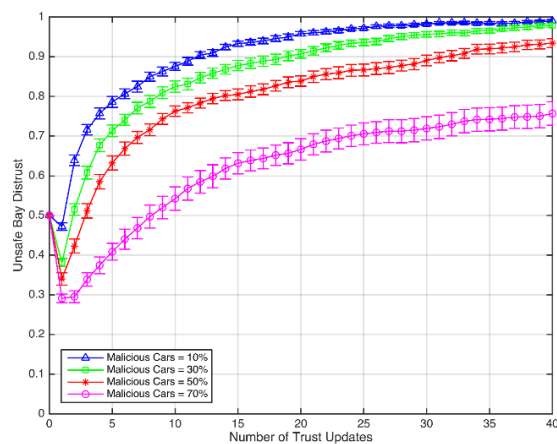
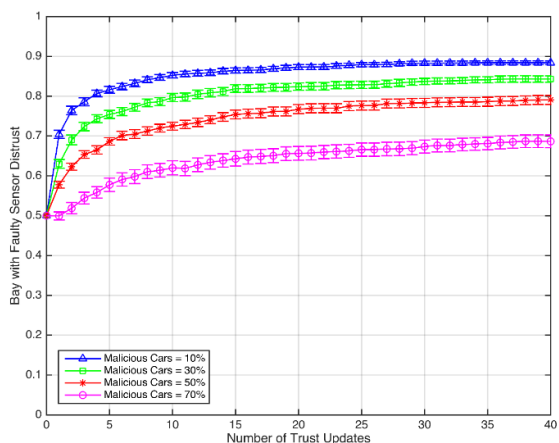
شکل ۷: اعتمادپذیری داده ویژگی ایمنی برای جایگاه‌های امن در حضور رفتارهای مخرب

شکل ۹: اعتمادپذیری داده ویژگی دسترس‌پذیری برای جایگاه‌های

مجهز به حس‌گرهای سالم در حضور رفتارهای مخرب

شکل ۱۰ نشان‌دهنده اعتمادپذیری داده ویژگی دسترس‌پذیری

برای جایگاه‌های مجهز به حس‌گرهای معیوب در حضور رفتارهای مخرب است.



شکل ۸: اعتمادپذیری داده ویژگی ایمنی برای جایگاه‌های نامن در حضور رفتارهای مخرب

شکل ۱۰: اعتمادپذیری داده ویژگی دسترس‌پذیری برای جایگاه‌های

مجهز به حس‌گرهای معیوب در حضور رفتارهای مخرب

با توجه به شکل ۱۰، مقدار همگرایی بی‌اعتمادی محاسبه شده

برای ویژگی دسترس‌پذیری جایگاه‌های مجهز به حس‌گرهای معیوب با افزایش درصد حضور رفتارهای مخرب در سیستم، کاهش پیدا می‌کند. در بیش‌ترین حالت رفتارهای مخرب مقدار همگرایی نزدیک به 0.65 است؛ با توجه به اینکه آستانه در نظر گرفته شده برای اعتماد برابر با 0.6 است می‌توان گفت که محاسبه اعتمادپذیری داده برای این ویژگی کارکرد مناسبی در حضور رفتارهای مخرب دارد.

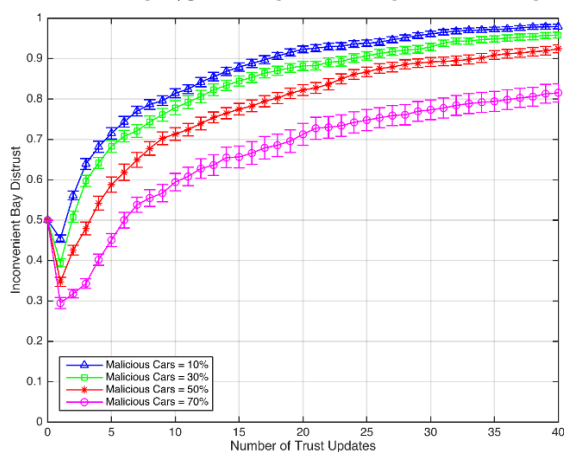
سومین ویژگی مورد بررسی، سهولت پارک در جایگاه است. شکل

۱۱ نشان‌دهنده اعتمادپذیری داده ویژگی سهولت پارک برای جایگاه‌های با اندازه استاندارد در حضور رفتارهای مخرب است. با توجه به شکل ۱۱، مقدار همگرایی اعتمادپذیری داده محاسبه شده برای ویژگی سهولت پارک برای جایگاه‌های با اندازه استاندارد با افزایش درصد حضور رفتارهای مخرب در سیستم، کاهش پیدا می‌کند. در

شکل ۸ نشان‌دهنده اعتمادپذیری داده ویژگی ایمنی برای جایگاه‌های نامن در حضور رفتارهای مخرب است. با توجه به شکل ۸، مقدار همگرایی بی‌اعتمادی محاسبه شده برای ویژگی ایمنی جایگاه‌های نامن با افزایش درصد حضور رفتارهای مخرب در سیستم، کاهش پیدا می‌کند. در بیش‌ترین حالت رفتارهای مخرب مقدار همگرایی نزدیک به 0.75 است. با توجه به اینکه آستانه در نظر گرفته شده برای اعتماد برابر با 0.6 است می‌توان گفت که محاسبه اعتمادپذیری داده برای این ویژگی کارکرد مناسبی در حضور رفتارهای مخرب دارد.

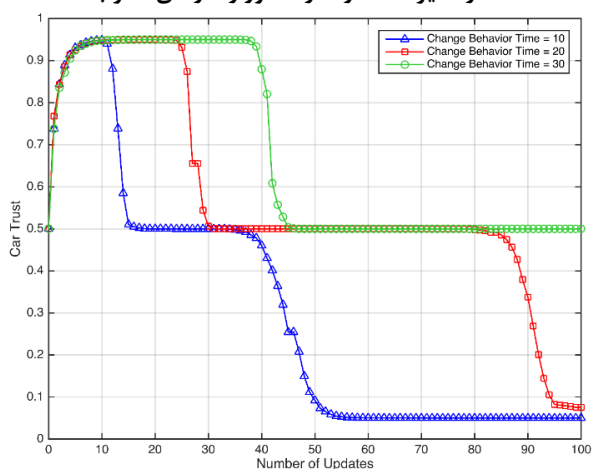
دومین ویژگی مورد بررسی دسترس‌پذیری جایگاه است. شکل ۹ نشان‌دهنده اعتمادپذیری داده ویژگی دسترس‌پذیری برای جایگاه‌های مجهز به حس‌گرهای سالم در حضور رفتارهای مخرب است. با توجه به شکل ۹، مقدار همگرایی اعتمادپذیری داده محاسبه شده برای ویژگی دسترس‌پذیری برای جایگاه‌های مجهز به حس‌گرهای سالم با افزایش درصد حضور رفتارهای مخرب در سیستم، کاهش پیدا می‌کند. در بیش‌ترین حالت رفتارهای مخرب یعنی با حضور 70% رفتار مخرب مقدار همگرایی نزدیک به 0.8 است؛ با توجه به اینکه آستانه در نظر گرفته شده برای اعتماد برابر با 0.6 است می‌توان گفت که محاسبه

مدت زمان بیش‌تری طول می‌کشد تا مقدار اعتماد با این تغییر شخصیت تطبیق پیدا کند. دلیل این اختلاف در زمان تطبیق، نحوه کارکرد روش محاسبه اعتماد موجودیت است. در روش محاسبه اعتماد، با هر بار به‌روزرسانی، احتمال یک سطح به یک نزدیک‌تر می‌شود؛ این بدان معناست که احتمال دو سطح دیگر در هر به‌روزرسانی به صفر نزدیک‌تر می‌شوند. بنابراین در مورد ۲۰ بار به‌روزرسانی، زمان بیشتری لازم است تا به احتمال مربوط به یک سطح اعتماد جدید برسیم. با نتایج به‌دست‌آمده می‌توان گفت، روش محاسبه اعتماد موجودیت ارائه شده در Trusty با تغییر شخصیت گره‌ها تطبیق‌پذیر است.



شکل ۱۲: اعتماد‌پذیری داده ویژگی سهولت پارک برای جایگاه‌های با

اندازه غیراستاندارد در حضور رفتارهای مخرب



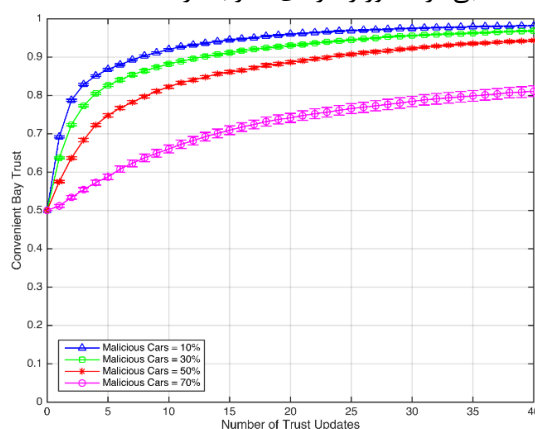
شکل ۱۳: میزان تطبیق‌پذیری اعتماد موجودیت با تغییر شخصیت

۴-۵- مقایسه Trusty با سایر روش‌ها

در این آزمایش، سناریوی پارکینگ هوشمند با استفاده از روش ارائه شده در مرجع [۹] نیز پیاده‌سازی شده و نتایج حاصل از شبیه‌سازی با نتایج محاسبه اعتماد در روش Trusty مقایسه شده است. در شکل ۱۴ اعتماد گره‌های مخرب در حضور رفتارهای مخرب توسط هر دو روش محاسبه شده و مورد مقایسه قرار گرفته است.

با توجه به شکل ۱۴، Trusty حتی در حالتی که ۷۰٪ گره مخرب در سیستم وجود دارد، عملکرد مناسبی خواهد داشت. با افزایش درصد گره‌های مخرب در سیستم، در حالتی که این مقدار به ۵۰٪ می‌رسد؛

بیش‌ترین حالت رفتارهای مخرب مقدار همگرایی نزدیک به ۰/۸ است؛ با توجه به اینکه آستانه در نظر گرفته شده برای اعتماد برابر با ۰/۶ است می‌توان گفت که محاسبه اعتماد‌پذیری داده برای این ویژگی کارکرد مناسبی در حضور رفتارهای مخرب دارد.



شکل ۱۱: اعتماد‌پذیری داده ویژگی سهولت پارک برای جایگاه‌های با اندازه استاندارد در حضور رفتارهای مخرب

شکل ۱۲ نشان‌دهنده اعتماد‌پذیری داده ویژگی سهولت پارک برای جایگاه‌های با اندازه غیراستاندارد در حضور رفتارهای مخرب است. با توجه به شکل ۱۲، مقدار همگرایی بی‌اعتمادی محاسبه شده برای ویژگی سهولت پارک جایگاه‌های با اندازه غیراستاندارد با افزایش درصد حضور رفتارهای مخرب در سیستم، کاهش پیدا می‌کند. در بیش‌ترین حالت رفتارهای مخرب مقدار همگرایی نزدیک به ۰/۸ است؛ با توجه به آستانه در نظر گرفته شده برای اعتماد (برابر با ۰/۶) می‌توان گفت که محاسبه اعتماد‌پذیری داده برای این ویژگی کارکرد مناسبی در حضور رفتارهای مخرب دارد.

۵-۳- بررسی تطبیق‌پذیری اعتماد موجودیت با تغییر رفتار

یکی از پارامترهایی که میزان انعطاف‌پذیری یک روش محاسبه اعتماد را مشخص می‌کند، میزان تطبیق‌پذیری آن با تغییر شخصیت است؛ به این معنا که گره موردنظر رفتار خود را از مخرب به خوش‌رفتار و یا برعکس تغییر دهد. سرعت این تطبیق و دقت مدل محاسبه اعتماد نسبت مستقیم دارند. به این منظور، در این بخش یک گره خوش‌رفتار در نظر گرفته شده است که یک‌بار بعد از گذشت ۱۰ مرتبه به‌روزرسانی، یک‌بار پس از گذشت ۲۰ مرتبه به‌روزرسانی و یک‌بار پس از گذشت ۳۰ مرتبه به‌روزرسانی به یک گره مخرب تغییر شخصیت داده است. شکل ۱۳ نشان‌دهنده میزان تطبیق‌پذیری اعتماد موجودیت با تغییر شخصیت است.

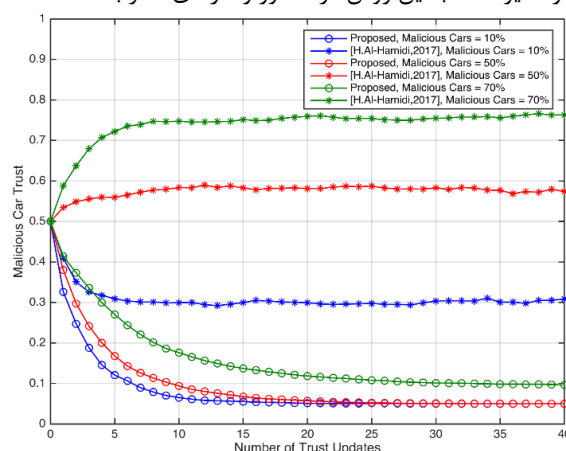
با توجه به شکل ۱۳، در حالتی که تغییر رفتار پس از ۱۰ مرتبه به‌روزرسانی صورت می‌گیرد، به سرعت در به‌روزرسانی بعدی این تغییر رفتار تشخیص داده شده و مقدار اعتماد با کاهش به یک سطح پایین‌تر یعنی سطح متوسط (۰/۵) می‌رسد. این آزمایش برای حالتی که تغییر رفتار پس از ۲۰ مرتبه و پس از ۳۰ مرتبه به‌روزرسانی صورت بگیرند نیز تکرار شده است. با توجه به شکل ۱۳، با افزایش زمان تغییر رفتار،

می‌کند. روش پیشنهادی برای محاسبه اعتماد، یک رویکرد ترکیبی است که از قانون ترکیب نظریه دمپستر-شفر برای ترکیب اعتماد موجودیت و اعتمادپذیری داده استفاده می‌کند. برای محاسبه اعتماد موجودیت از یک روش مبتنی بر یادگیری بیزی و برای محاسبه اعتمادپذیری داده از جمع وزن دار گزارش‌ها استفاده شده است. عملکرد مناسب روش پیشنهادی در قیاس با روش‌های موجود در سناریوی کاربردی پارکینگ هو شمند نشان دهنده اثربخشی رویکرد ارائه شده است.

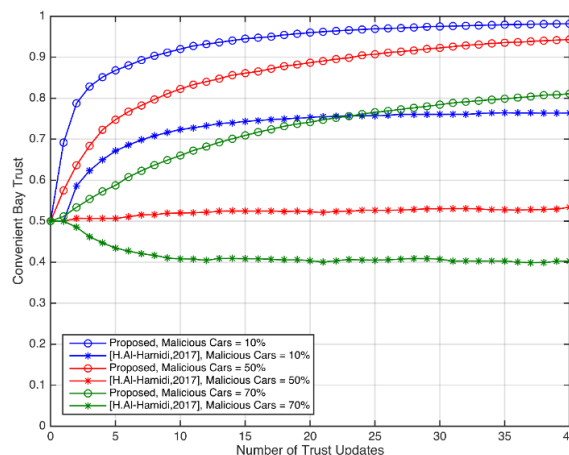
۷- مراجع

- [1] A. Al-Fuqaha, M. Guizani, M. Mohammadi, M. Aledhari and M. Ayyash, "Internet of Things: A Survey on Enabling Technologies, Protocols and Applications," IEEE Communications Surveys & Tutorials, vol. 17, no. 4, pp. 2347-2356, 2015 .
- [2] J.-H. Cho, K. Chan and S. Adali, "A survey on trust modeling," ACM Computing Surveys, vol. 48, no. 2, p. 28, 2015 .
- [3] J. Guo and I.-R. Chen, "A Classification of Trust Computation Models for Service-Oriented Internet of Things Systems," in IEEE International Conference on Services Computing, 2015 .
- [4] A. Jøsang, R. Ismail and C. Boyd, "A survey of trust and reputation systems for online service provision," Decision Support Systems, vol. 43, no. 2, pp. 618-644, 2007 .
- [5] I.-R. Chen, J. Guo and F. Bao, "Trust Management for SOA-Based IoT and Its Application to Service Composition," IEEE Transactions on Services Computing, vol. 9, no. 3, pp. 482 - 495, 2016.
- [6] Y. Wang, Y.-C. Lu, I.-R. Chen, J.-H. Cho, A. Swami and C.-T. Lu, "LogitTrust: A logit regression-based trust model for mobile ad hoc networks," in 6th ASE International Conference on Privacy, Security, Risk and Trust, 2014 .
- [7] S. A. Soleymani, A. H. Abdullah, W. H. Hassan, M. H. Anisi, S. Goudarzi, M. A. Rezazadeh Bae and S. Mandala, "Trust management in vehicular ad hoc network: a systematic review," EURASIP Journal on Wireless Communications and Networking , vol. 146, 2015.
- [8] X. Yao, X. Zhang, H. Ning and P. Li, "Using trust model to ensure reliable data acquisition in VANETs," Ad Hoc Networks, vol. 55, pp. 107-118, 2017.
- [9] H. Al-Hamadi and I.-R. Chen, "Trust-Based Decision Making for Health IoT Systems," IEEE Internet of Things Journal, vol. 4, no. 5, pp. 1408 - 1419, 2017.
- [10] W. Li, H. Song and F. Zeng, "Policy-based Secure and Trustworthy Sensing for Internet of Things in Smart Cities," IEEE Internet of Things Journal , vol. PP, no. 99, p. 1, 2017 .
- [11] U. Jayasinghe, A. Otebolaku and T.-W. Um, "Data centric trust evaluation and prediction framework for IOT," in ITU Kaleidoscope: Challenges for a Data-Driven Society (ITU K), 2017 .
- [12] R. Böck, S. Glüge and A. Wendemuth, "Dempster-Shafer Theory with Smoothness," in International Symposium on

مقدار همگرایی اعتماد در روش مرجع [۹] نزدیک به ۰/۶ خواهد بود و در حالتی که در صد گره‌های مخرب سیستم به ۰/۷۰ می‌رسد؛ مقدار همگرایی بالاتر از آستانه اعتماد به نزدیک ۰/۸ می‌رسد که نشان‌دهنده کارکرد غیر مناسب این روش در حضور رفتارهای مخرب است.



شکل ۱۴: مقایسه اعتماد موجودیت Trusty و روش مرجع [۹]



شکل ۱۵: مقایسه اعتمادپذیری داده Trusty و روش مرجع [۲۰] در حضور رفتارهای مخرب

در شکل ۱۵ اعتمادپذیری داده ویژگی سهولت پارک برای جایگاه‌های با اندازه استاندارد، در حضور رفتارهای مخرب توسط هر دو روش مورد مقایسه قرار گرفته است. با توجه به شکل ۱۵، Trusty حتی در حضور ۰/۷۰ گره مخرب در سیستم عملکرد مناسبی خواهد داشت. با افزایش درصد گره‌های مخرب در سیستم به ۰/۵۰ مقدار همگرایی در روش [۹] از آستانه اعتماد نیز پایین‌تر آمده و نزدیک به ۰/۵ خواهد بود و در حالت ۰/۷۰ درصد گره مخرب به ۰/۴ می‌رسد که نشان‌دهنده کارکرد غیر مناسب این روش در مقایسه با Trusty در حضور رفتارهای مخرب است.

۶- نتیجه‌گیری

در این مقاله به ارائه یک روش محاسبه اعتماد برای کاربرد در اینترنت اشیا پرداخته شده است که علاوه بر محاسبه اعتماد برای موجودیت‌ها در یک کاربرد، اعتمادپذیری داده‌های تولید شده را نیز محاسبه

- [22] R. Talreja, S. Sathish and K. Nenwani, "Trust and behavior based system to prevent collision in IoT enabled VANET," in *Signal Processing, Communication, Power and Embedded System*, 2016 .
- [23] G. Shafer, *A mathematical theory of evidence*, Princeton University Press, 1976 .
- [24] C. Jiang, Y. Ren, H.-H. Chen and M. Guizani, "Information Sharing in Cooperative Networks: a Generic Trustworthy Issue," in *IEEE International Conference on Communications*, 2016 .
- [25] Y. Zheng, S. Rajasegarar and C. Leckie, "Parking Availability Prediction for Sensor-Enabled Car Parks in Smart Cities," in *IEEE International Conference on Intelligent Sensors, Sensor Networks and Information Processing*, 2015.
- [۲۶] جمیل جنتی، داریوش نظریور، «مدیریت انرژی پارکینگ هوشمند خودروهای برقی در یک زیرشبکه با در نظر گرفتن اثرات برنامه پاسخگویی بار»، *مجله مهندسی برق تبریز*، جلد ۴۷، شماره ۲، صفحه ۴۵۵-۴۶۷، ۱۳۹۶
- [۲۷] رحیم بجانی، محمد کلانتری، امیرمسعود افتخاری مقدم، «ارائه چهارچوبی مبتنی بر نظریه بازیها برای جلب مشارکت گره‌ها در فرآیند شناسایی گره‌های مخرب در شبکه‌های حسگر بی سیم»، *مجله مهندسی برق تبریز*، جلد ۴۷، شماره ۴، صفحه ۱۳۲۹-۱۳۴۲، ۱۳۹۶
- [28] L. Gu, J. Wang, and B. Sun, "Trust management mechanism for Internet of things", *China Communications*, vol. 11, no. 2, pp. 148-156, 2014
- [29] H. Pohls, V. Angelakis, S. Suppan, K. Fischer, "RERUM: building a reliable IoT upon privacy and security enabled smart objects", *IEEE Wireless Communications and Networking Conference Workshops (WCNCW)*, 2014, pp. 122-127
- [30] A. Rezvanian, A.M. Saghiri, S.M. Vahidipour, M.R. Meybodi, "Recent Advances in Learning Automata", Springer, 2018
- Integrated Uncertainty in Knowledge Modelling and Decision Making, 2013 .
- [13] Y. Saied, A. Olivereau, D. Zeghlache and M. Laurent, "Trust management system design for the Internet of Things: A context-aware and multi-service approach," *Computers & Security*, vol. 39, pp. 351-365, 2013 .
- [14] F. Bao and I.-R. Chen, "Dynamic Trust Management for Internet of Things Applications," in *Proceedings of the international workshop on Self-aware internet of things*, 2012 .
- [15] Z. Chen, R. Ling, C. Huang and X. Zhu, "A scheme of access service recommendation for the Social Internet of Things," *International Journal of Communication Systems.*, vol. 29, no. 4, pp. 694-706, 2016 .
- [16] Bao, Fenye, I.-R. Chen and J. Guo, "Scalable, Adaptive and Survivable Trust Management for Community of Interest Based Internet of Things Systems," in *IEEE Autonomous Decentralized Systems*, 2013 .
- [17] D. Chen, G. Chang, D. Sun, J. Li, J. Jia and W. Xingwei, "TRM-IoT: A Trust Management Model Based on Fuzzy Reputation for Internet of Things," *computer Science and Information Systems*, vol. 8, no. 4, pp. 1207-1228, 2011.
- [18] B. Liu, Z. Xu and J. Chen, "Toward reliable data analysis for Internet of Things by Bayesian dynamic modeling and computation," in *IEEE International Conference on Signal and Information Processing*, 2015 .
- [19] Q. Ding, X. Li, M. Jiang and X. Zhou, "Reputation-based trust model in vehicular ad hoc networks," in *Wireless Communications and Signal Processing*, 2010 .
- [20] S. Gurung, D. Lin, A. Squicciarini and E. Bertino, "Information-Oriented Trustworthiness Evaluation in Vehicular Ad-hoc Networks," in *International Conference on Network and System Security*, 2013 .
- [21] M. Nitti, R. Girau and L. Atzori, "Trustworthiness Management in the Social Internet of Things," *IEEE Transactions on Knowledge and Data Engineering*, vol. 26, no. 5, pp. 1253 - 1266, 2014.